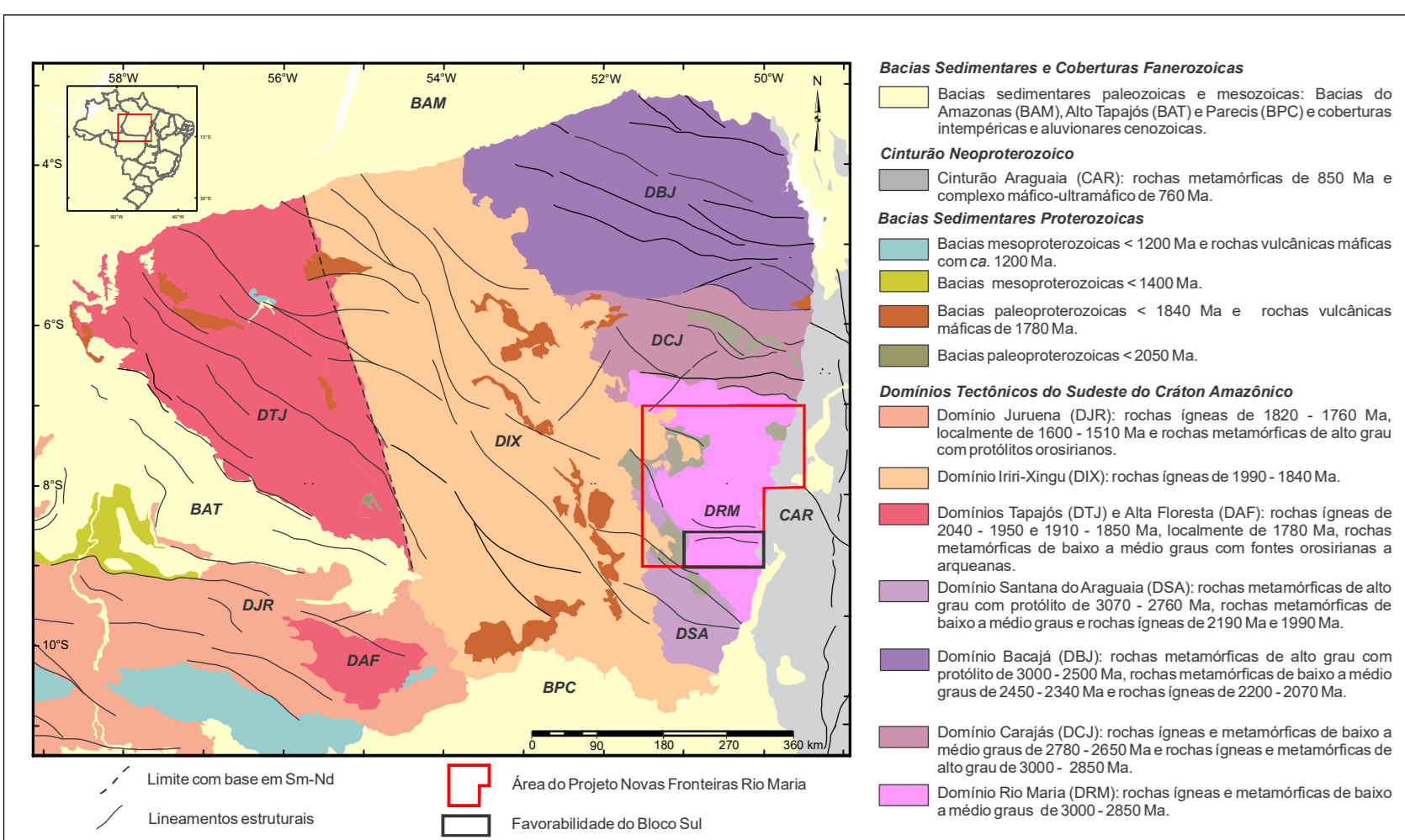


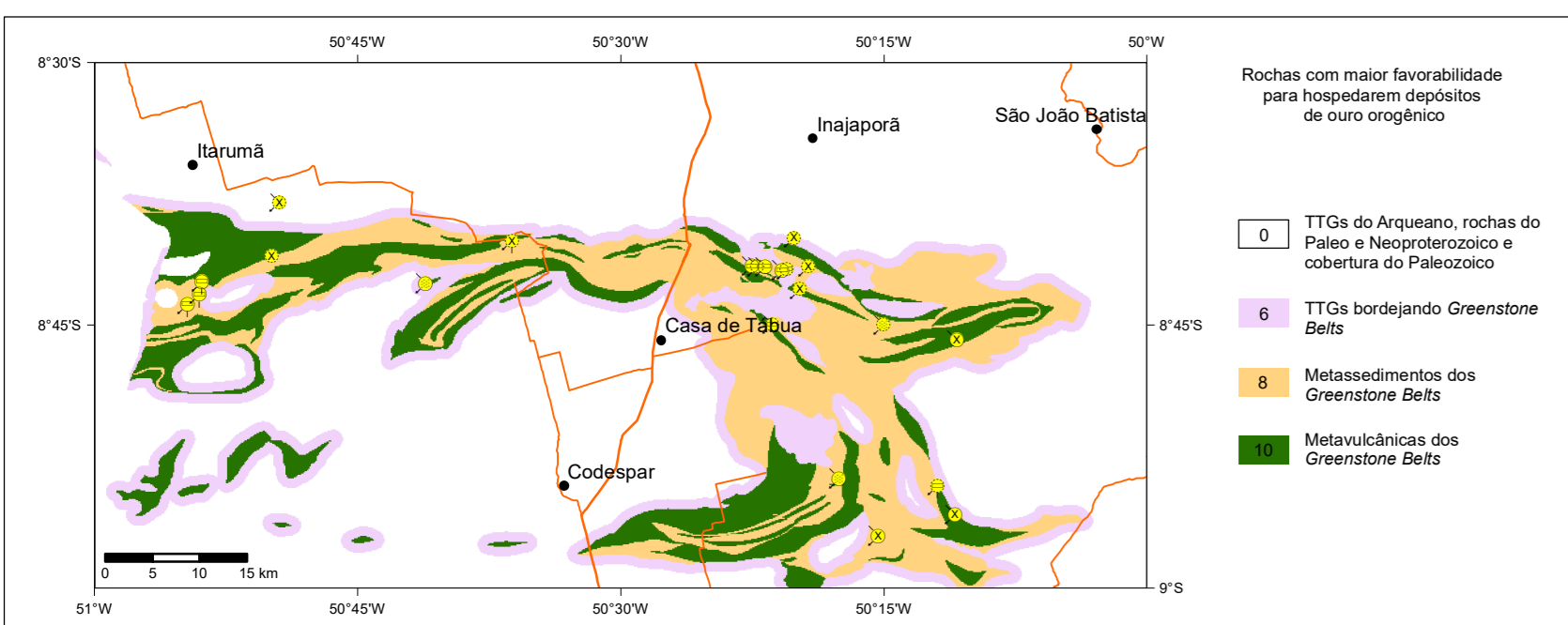


PROJETO INTEGRAÇÃO GEOLOGICA-GEOFISICA-METALOGENETICA DAS SEQUÊNCIAS DE GREENSTONE BELTS DO DOMÍNIO RIO MARIA - NOVAS FROTEIRAS RIO MARIA
MAPA DE FAVORABILIDADE PARA OURO OROGENICO DA PORÇÃO SUL DO DOMÍNIO RIO MARIA

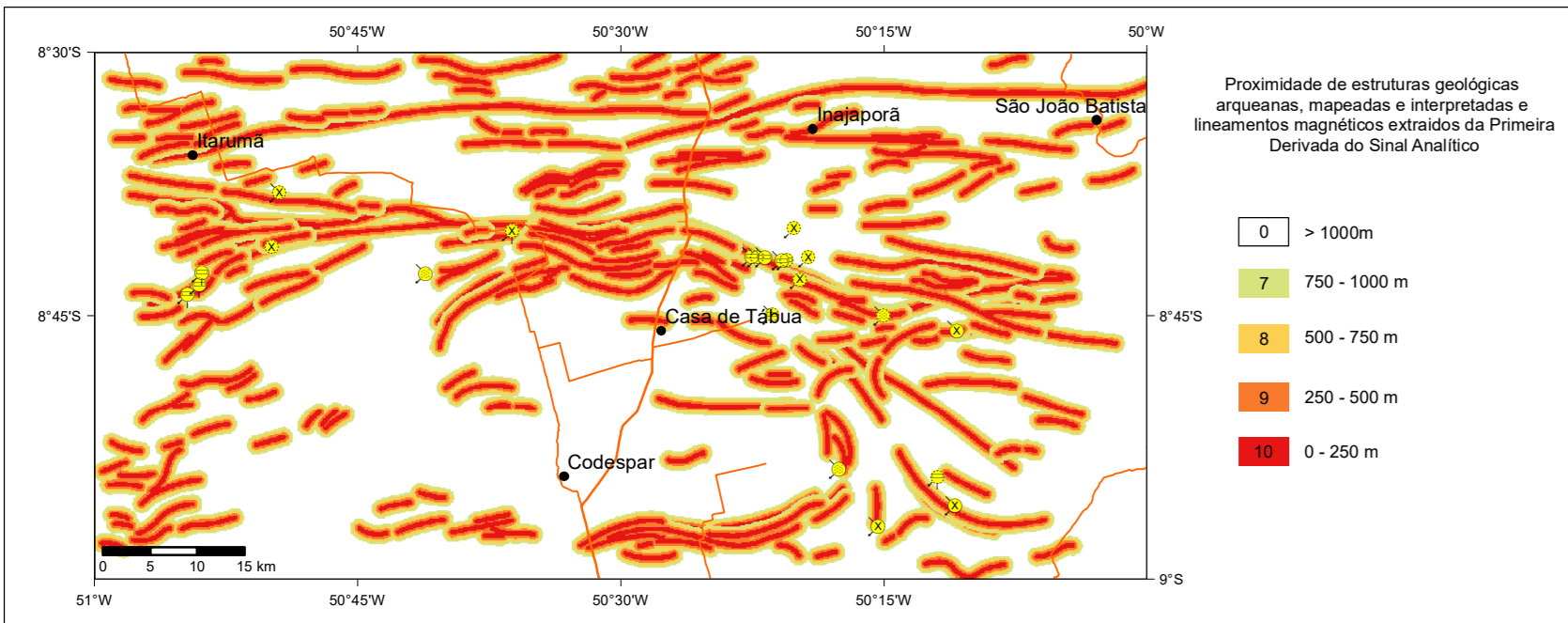
ENCARTE TECTÓNICO



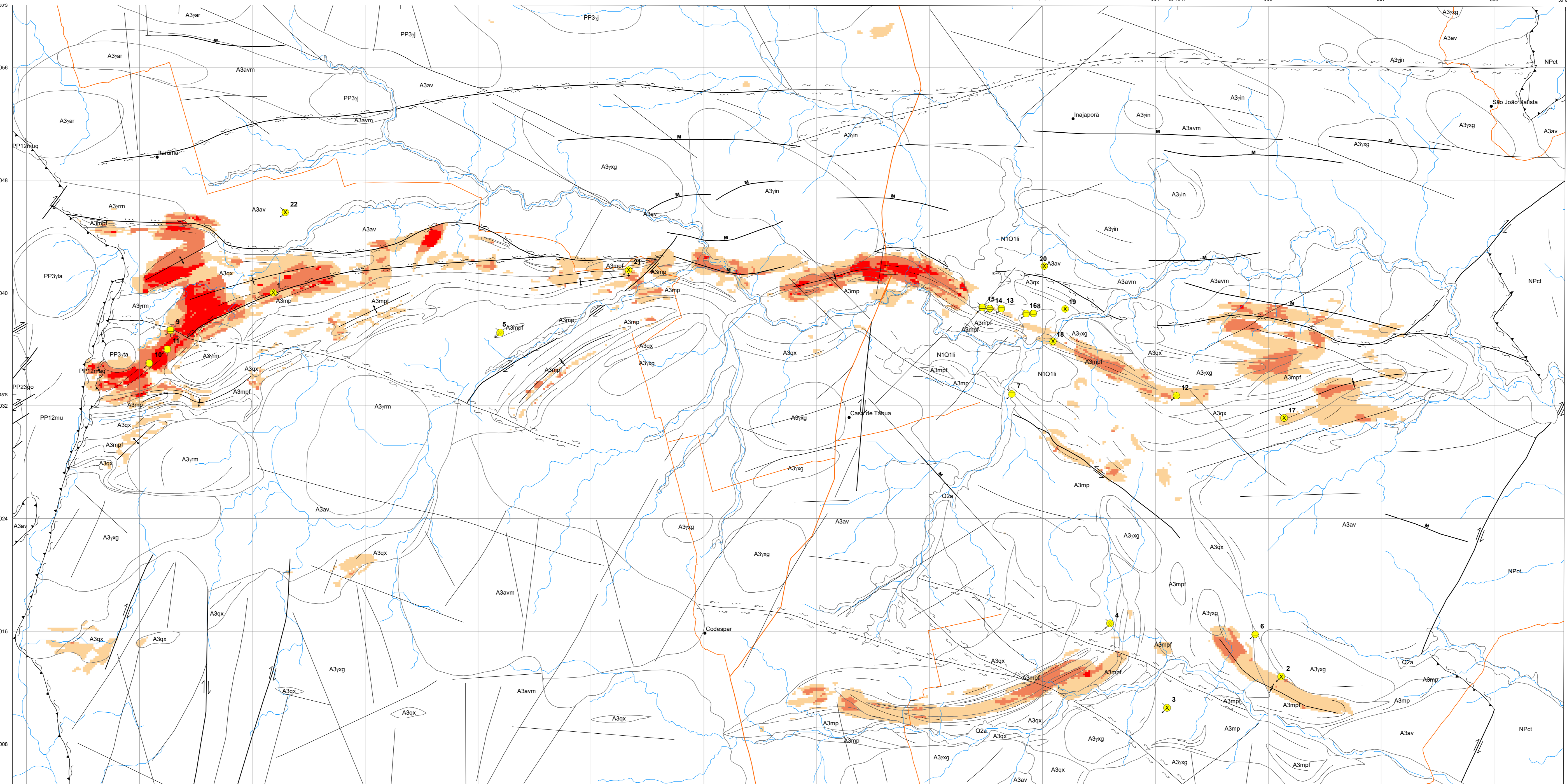
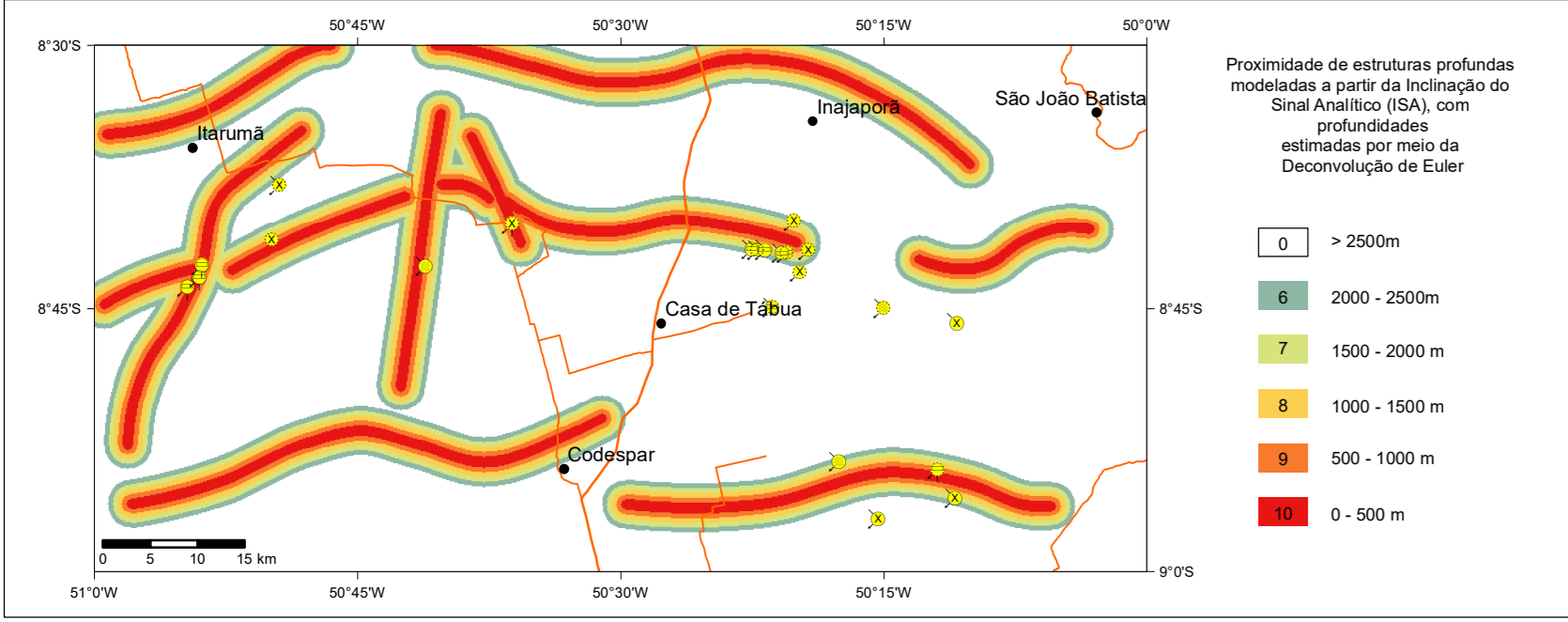
Controle litoestratigráfico



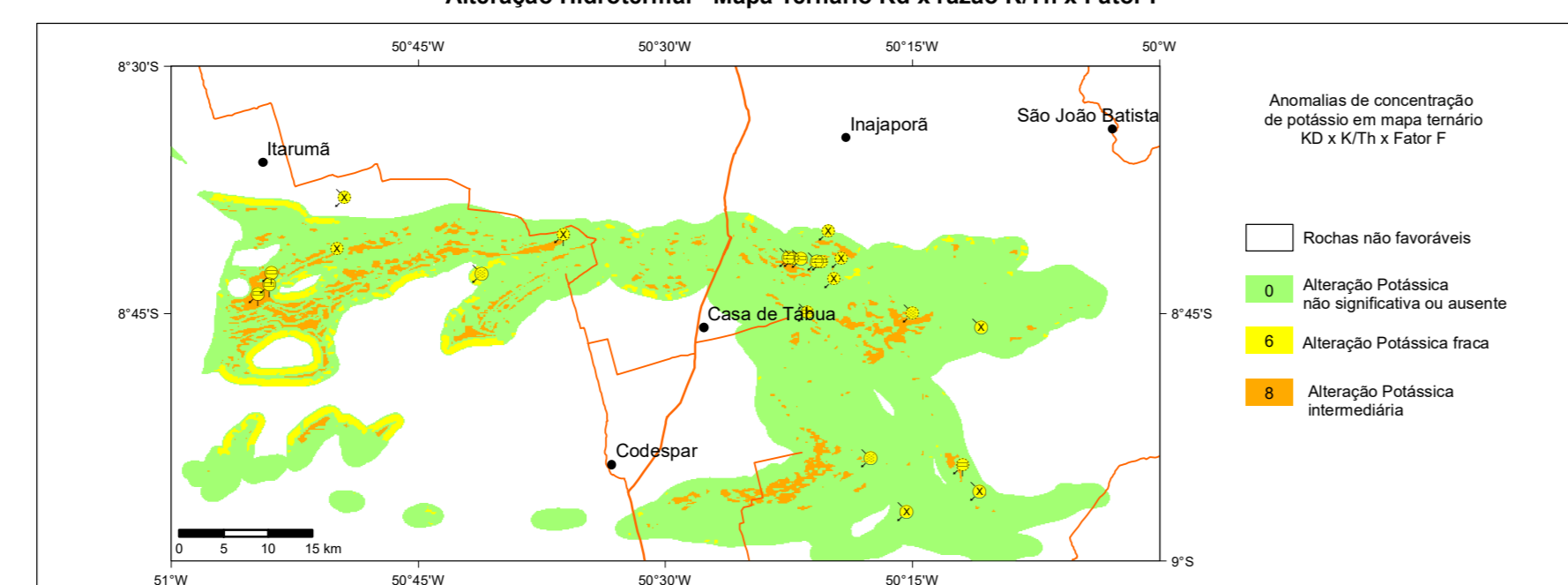
Controle Estrutural Arqueno



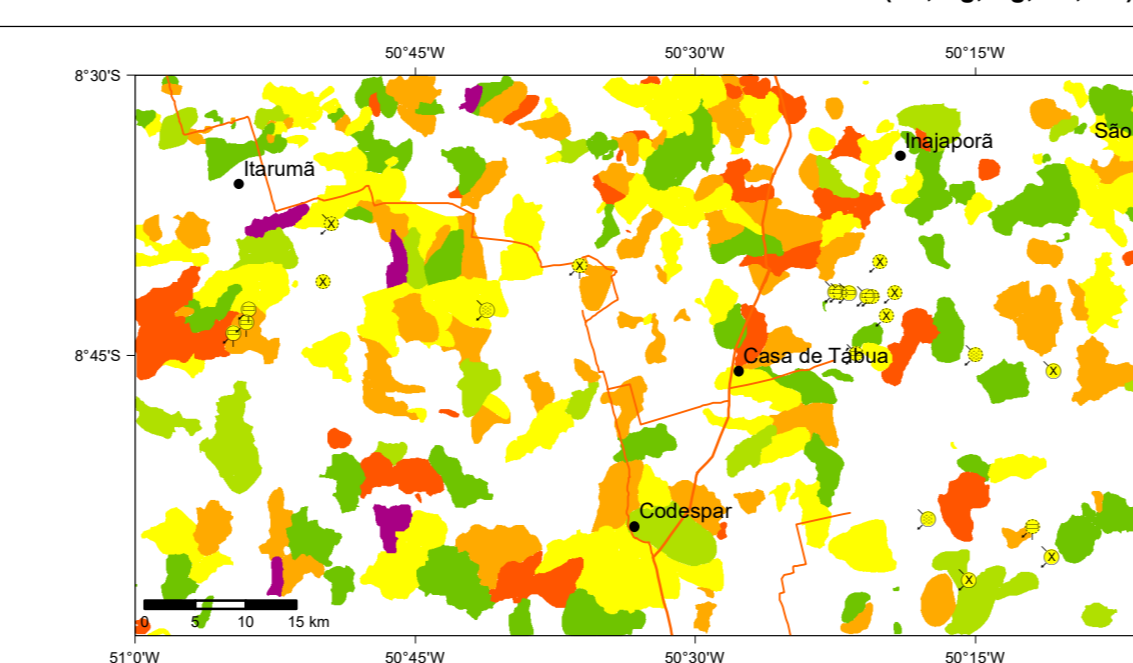
Estruturas profundas modeladas < 3Km de profundidade



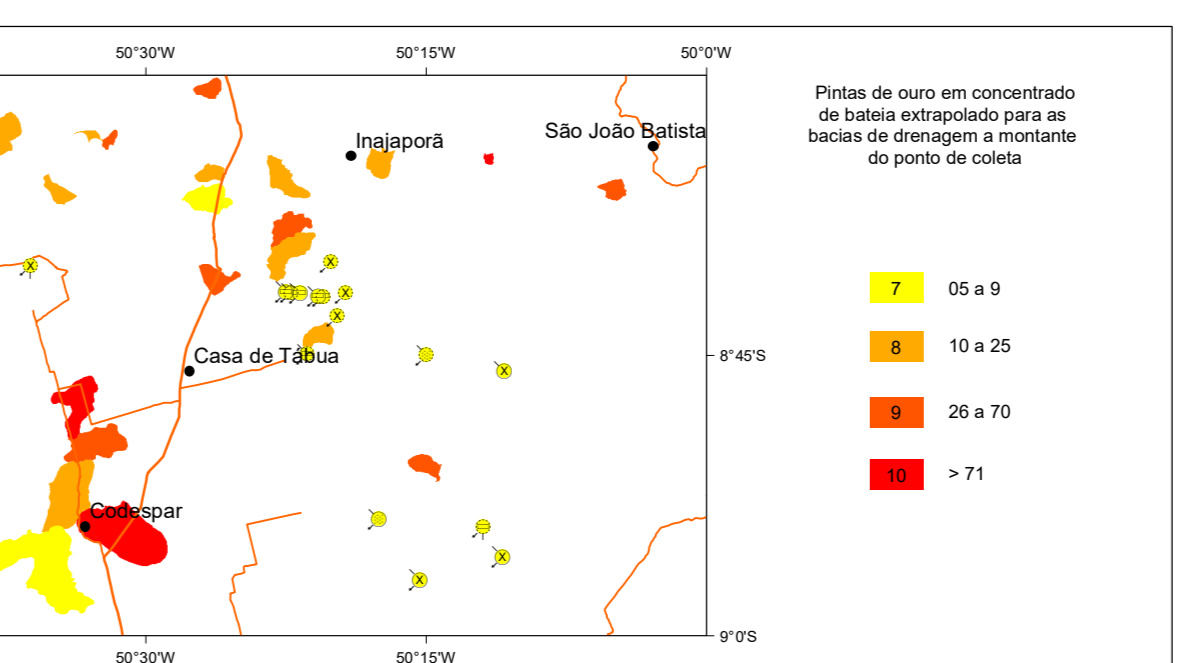
Alteração Hidrotérmica - Mapa Ternário Kz x Rd x K/Th x fator F



Sedimentos de corrente (Pb, Ag, Hg, Sb, Cu)



Pintas de Ouro em Concentrado de Bateia



LISTA DE DEPÓSITOS / OCORRÊNCIAS

Nr.	Estação	Nome ou Toponímia	Status	Tipologia	Rocha hospedeira / Rocha Encaixada	Unidade Estratigráfica	Controle Estrutural(A2)
1	J8093	Afforeamento na Fazenda Santa Bárbara	Não explorado	Indeterminada	rocha metamórfica	Grupo Serra do Inajá, Formação Morada da Prata, Formação Ferríferas bandadas	N15W
2	GAD19	Afforeamento na Fazenda El Shaday	Garimpo inativo	Metamórfico	Bif / Veio de quartzo	Grupo Serra do Inajá, Formação Morada da Prata, Formação Ferríferas bandadas	
3	GAD42	Afforeamento próximo da Fazenda El Shaday	Garimpo inativo	Metamórfico	Bif, quartzo / Veio de quartzo	Grupo Serra do Inajá, Formação Morada da Prata, Formação Ferríferas bandadas	
4	UP009	Afforeamento próximo da Fazenda Mefra (antiga Grão Pará)	Garimpo inativo	Metamórfico	Bif, quartzo / Veio de quartzo	Grupo Serra do Inajá, Formação Morada da Prata, Formação Ferríferas bandadas	
5	UP165	Afforeamento próximo da Fazenda Mefra (antiga Grão Pará)	Garimpo inativo	Metamórfico	Bif / Veio de quartzo	Grupo Serra do Inajá, Formação Morada da Prata, Formação Ferríferas bandadas	
6		Garimpo Rio Preto	Garimpo inativo	Metamórfico	Bif / Veio de quartzo	Grupo Serra do Inajá, Formação Morada da Prata, Formação Ferríferas bandadas	
7		Garimpo Carrapato 1	Garimpo inativo	Metamórfico	Rocha metamórfica, Bif / Veio de quartzo	Grupo Serra do Inajá, Formação Morada da Prata, Formação Ferríferas bandadas	
8		Garimpo da Forquilha 3	Garimpo inativo	Metamórfico	Rocha metamórfica, Bif / Veio de quartzo	Grupo Serra do Inajá, Formação Morada da Prata, Formação Ferríferas bandadas	
9		Garimpo Cabeceira do Inajá 1	Garimpo inativo	Metamórfico	Rochas metamórficas e metatamizadas	Grupo Serra do Inajá, Formação Morada da Prata, Formação Ferríferas bandadas	
10		Garimpo da Forquilha 2	Garimpo inativo	Metamórfico	Rocha metamórfica, Bif / Veio de quartzo	Grupo Serra do Inajá, Formação Morada da Prata, Formação Ferríferas bandadas	
11		Garimpo Cabeceira do Inajá 2	Garimpo inativo	Metamórfico	Rocha metamórfica, Bif / Veio de quartzo	Grupo Serra do Inajá, Formação Morada da Prata, Formação Ferríferas bandadas	
12		Garimpo Cabeceira do Inajá 3	Garimpo inativo	Metamórfico	Granodiorita/Veio de quartzo	Sulite Rio Maria	
13	DP092	Afforeamento próximo da Fazenda Baíles do Inajá	Garimpo ativo	Metamórfico	Rocha metamórfica / Veio de quartzo	Grupo Serra do Inajá, Formação Morada da Prata	
14	DP091D	Afforeamento próximo da Fazenda Baíles do Inajá	Garimpo inativo	Metamórfico	Rocha metamórfica, Bif, Gabro / Veio de quartzo	Grupo Serra do Inajá, Formação Morada da Prata	
15	DP091	Afforeamento próximo da Fazenda Baíles do Inajá	Garimpo inativo	Metamórfico	Rocha metamórfica, Bif, Gabro / Veio de quartzo	Grupo Serra do Inajá, Formação Morada da Prata	
16	DP093	Afforeamento próximo da Fazenda Baíles do Inajá	Garimpo inativo	Metamórfico	Rocha metamórfica / Veio de quartzo	Grupo Serra do Inajá, Formação Morada da Prata	
17		Serra do Inajá	Não explorado	Metamórfico	Rocha metamórfica	Grupo Serra do Inajá, Formação Morada da Prata	
18		Carrapato	Garimpo inativo	Indeterminada	Rocha vulcanossedimentar	Grupo Serra do Inajá, Formação Morada da Prata, Formação Ferríferas bandadas	
19		Forquilha	Garimpo inativo	Indeterminada	Tonalito	Complexo Arco Verde	
20		Codexpar	Garimpo inativo	Metamórfico	Rocha metamórfica	Grupo Serra do Inajá, Formação Morada da Prata	
21		Machadinho	Garimpo inativo	Metamórfico	Tonalito	Complexo Arco Verde	
22		Alvo Falcão (Hortense)	Garimpo inativo	Metamórfico	Rocha metamórfica, Bif	Grupo Serra do Inajá, Formação Morada da Prata	

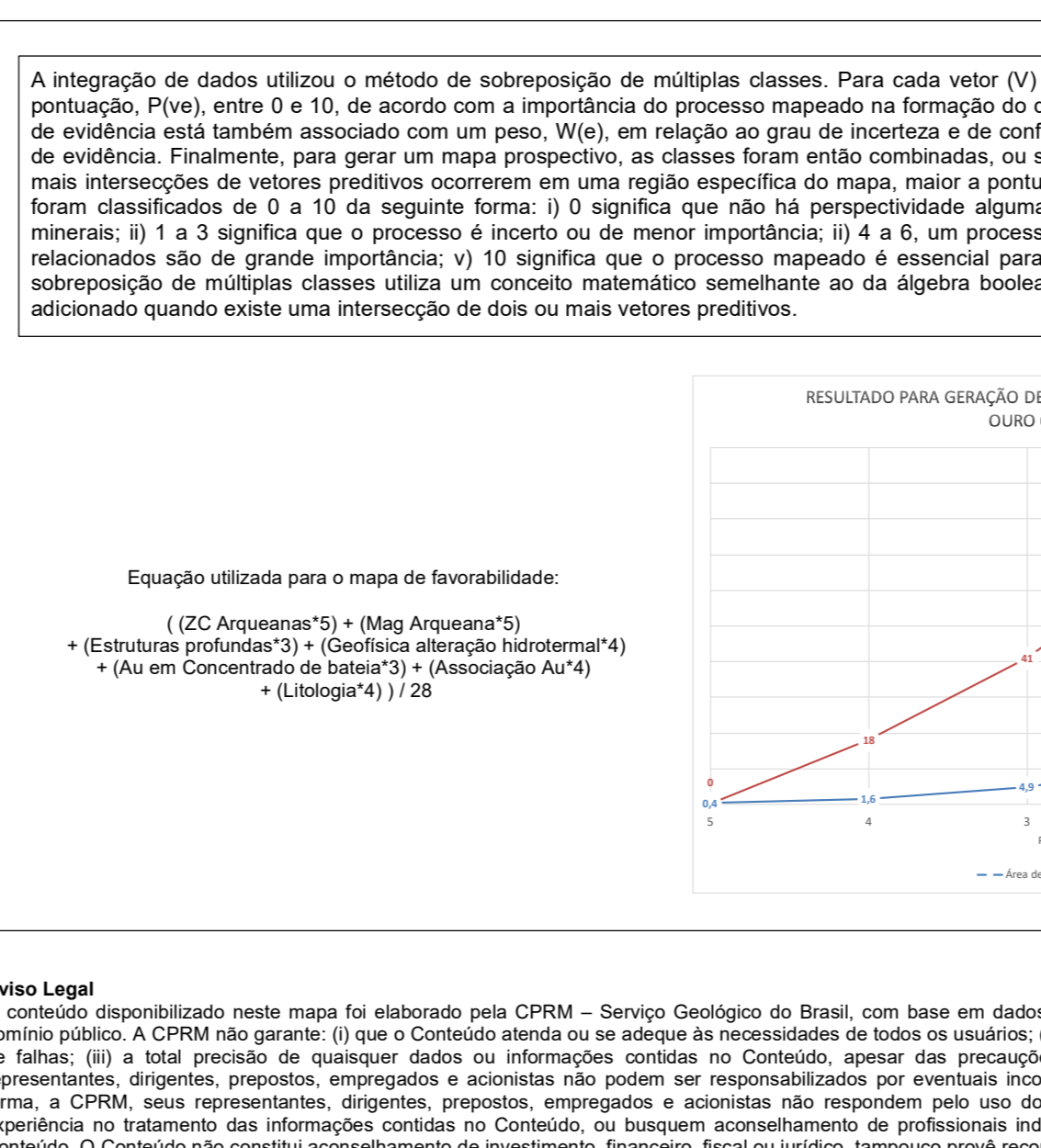
TABELA DE PESOS E PONTUAÇÕES ATRIBUÍDAS AOS MAPAS DE EVIDÊNCIA DA PORÇÃO SUL

Mapa de evidência	Obtenção	Critério	Pontuação	Peso (W)	Objeto e relação com o depósito
Geotectônica	Distância euclidiana de estruturas estriadas do ISA, oriundas a partir do Campo Magnético Anômalo de fontes profundas. Profundidade estimada por Deconvolução de Euler.	Distância-buffer estrutura	> 2500 m 2000 - 2500 m 1000 - 2000 m 500 - 1000 m 0 - 500 m	0 - 10	Canalização de fluidos mineralizados a partir das fontes crenolíticas profundas. Baixa precisão espacial devido ao caráter regional das estruturas.
Litologia	Mapa geológico de semelhança (1:100.000) do Domínio Rio Maria, com foco nos Greenstone Belts.	Rochas	TTGs Ultramáficas e rochas PP NP e PE Metabas Metavulc	0 - 10	Rochas mais favoráveis para hospedar os depósitos de ouro (argêlico). Média e alta precisão espacial, associada a imbuções da escala de trabalho.
ZC Arqueno	Distância Euclidiana sobre estruturas mapeadas em escala 1:100.000 interpretadas de sensores remotos em escala 1:50.000.	Distância-buffer estrutura (m)	> 1000 m 750 - 1000 m 500 - 750 m 250 - 500 m 0 - 250 m	0 - 10	Canalização de fluidos mineralizados e possíveis sítios de deposição de metais. Alta precisão espacial, estruturas mapeadas e interpretadas em escala de detalhe.
Mqg Arquena	Distância Euclidiana sobre estruturas relacionadas à deformação aquena interpretadas da Primeira derivada vertical da magnetometria escala 1:50.000.	Distância-buffer estrutura (m)	> 1000 m 750 - 1000 m 500 - 750 m 250 - 500 m	0 - 10	Canalização de fluidos mineralizados em escala local e possíveis sítios de deposição de metais. Alta precisão espacial, malha com distribuição insuficiente de metais em relação à área.
Geofísica	Anomalias na concentração de potássio em mapa ternário Kz/Rd/KTh (vermelho), fator F (verde) e Kd (azul).	Alteração Pátística	significativa fraca intermediária alta	0 - 10	Região de percolação de fluidos mineralizados e possíveis sítios de deposição de metais. Média a alta precisão espacial, malha com distribuição insuficiente de metais em relação à área.
Associação	Mapeamento de anomalias relativas de elementos traçadores associados ao ouro no sistema metalogênico orogênico, extrapolado para as bacias de drenagem a montante do ponto de coala.	Pintas de ouro	0 5 a 9 10 a 25 216 a 70	0 - 10	Região de deposição de metais. Alta precisão espacial, malha com distribuição insuficiente de metais em relação à área.
Associação	Mapeamento de anomalias relativas de elementos traçadores associados ao ouro no sistema metalogênico orogênico, extrapolado para as bacias de drenagem a montante do ponto de coala.	Pintas de ouro	baixo a médio médio alto alto	0 - 10	Região de deposição de metais. Alta precisão espacial, malha com distribuição insuficiente de metais em relação à área.

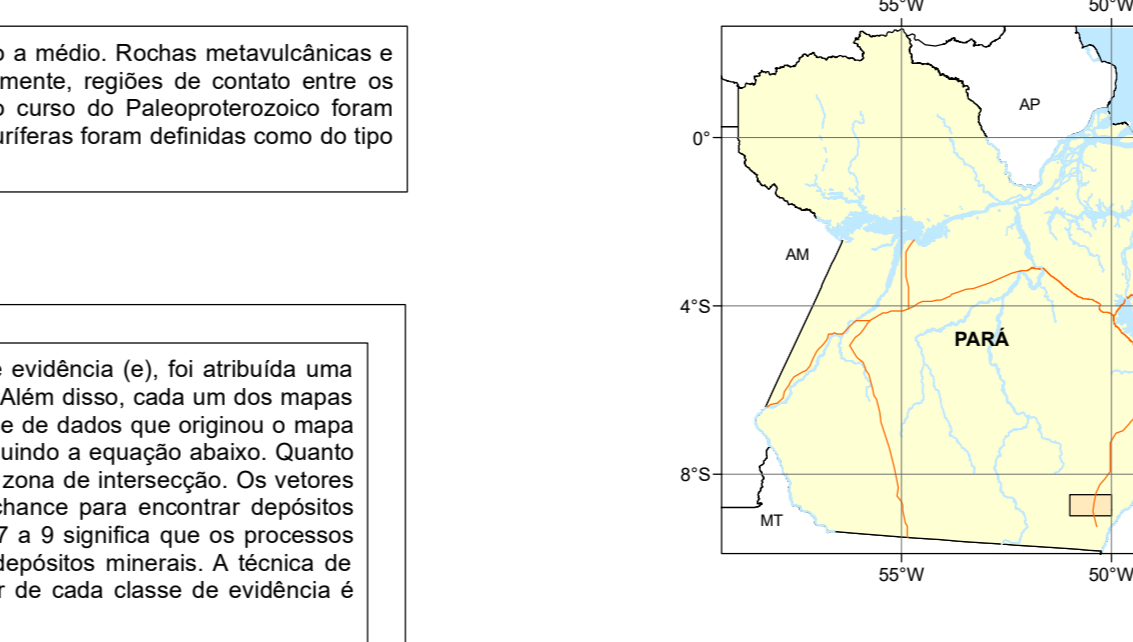
EVOLUÇÃO GEOTECTÓNICA

As rochas do Greenstone Inajá (2,98 Ga) foram afetadas por evento orogênico no Arqueno de facies xisto verde baixo a médio. Rochas metavulcânicas e metasedimentares destes greenstones apresentaram o maior potencial para hospedar depósitos auríferos. Adicionalmente, regiões de contato entre os Greenstone Belts e as rochas TTGs também acomodam algumas das ocorrências observadas nesta área. Durante o curso do Paleoproterozoico foram depositados os sedimentos dos Grupos Gemaque e Rio Fresco sobre as rochas mais antigas. Assim as mineralizações auríferas foram definidas como do tipo Orogênica.

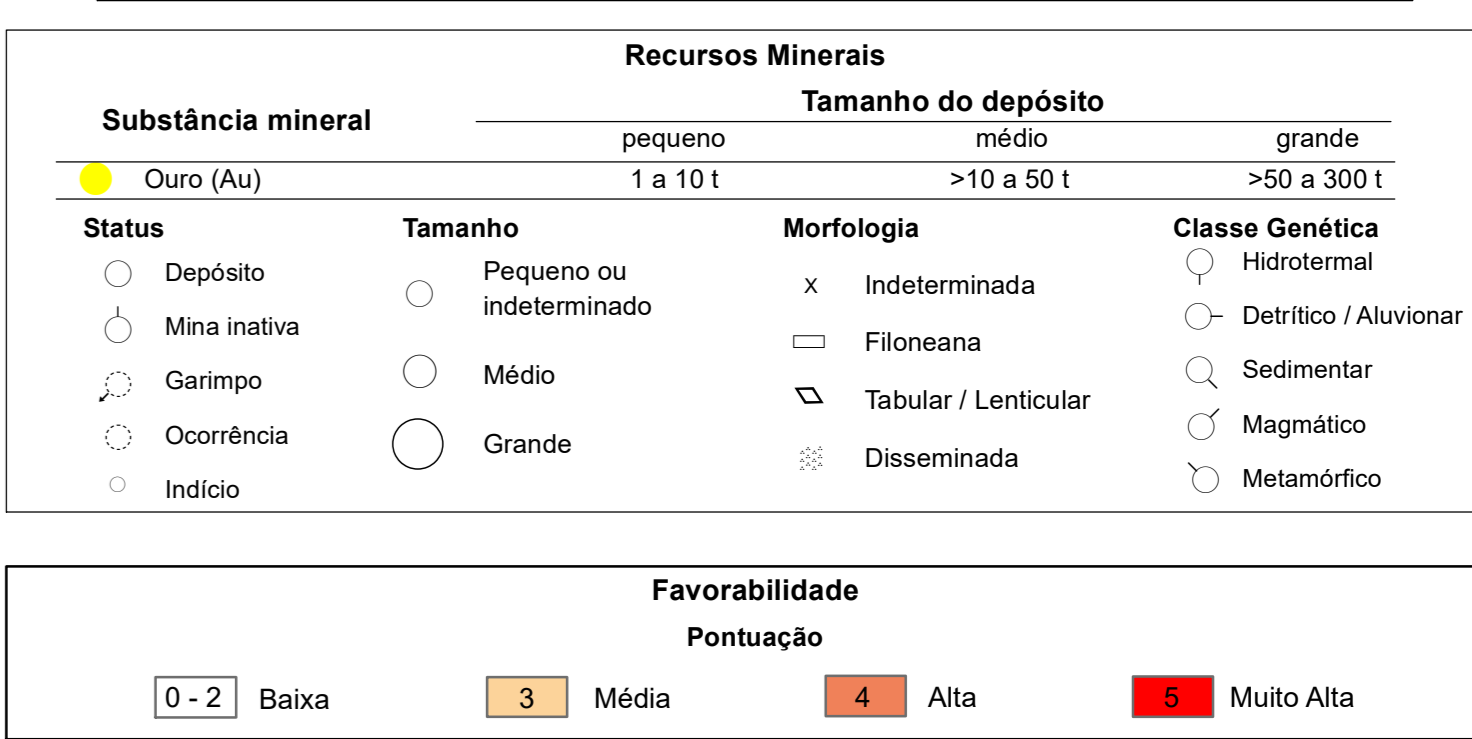
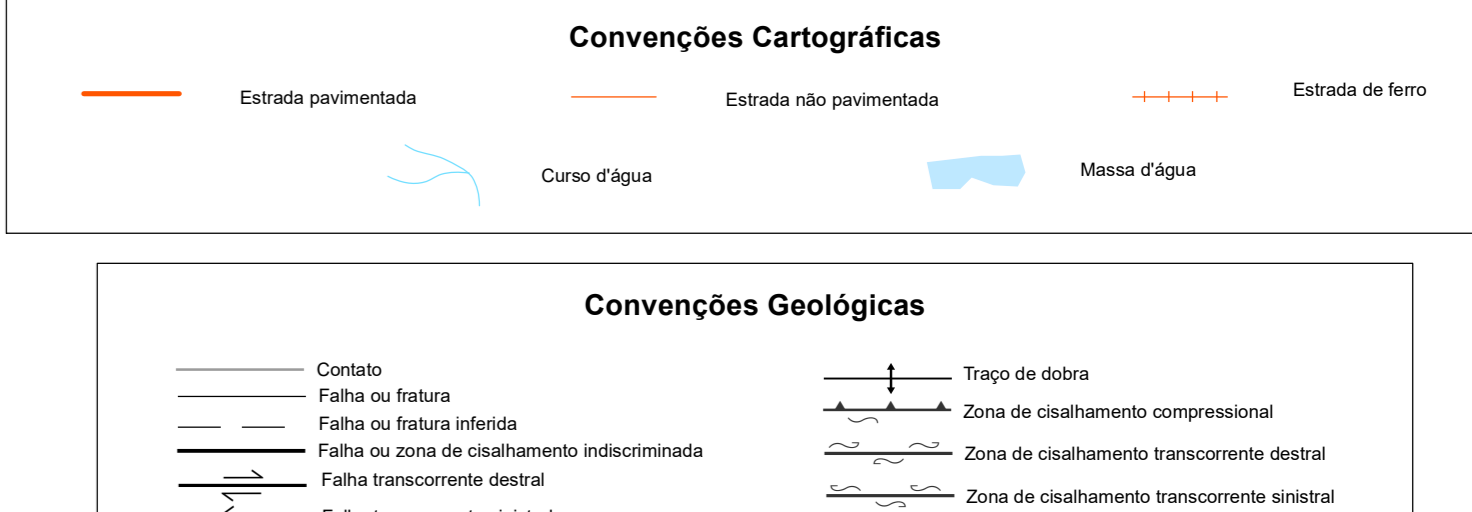
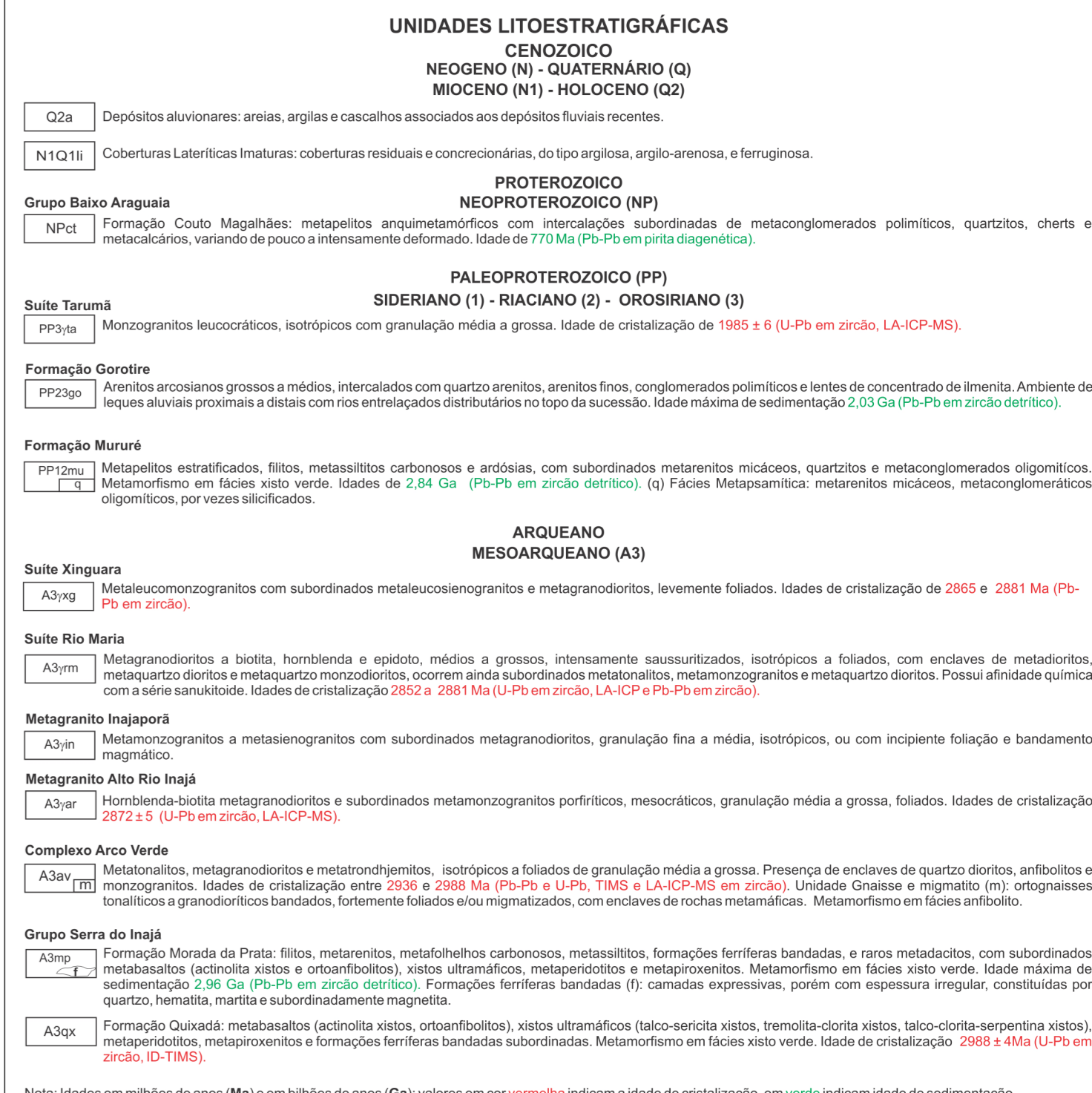
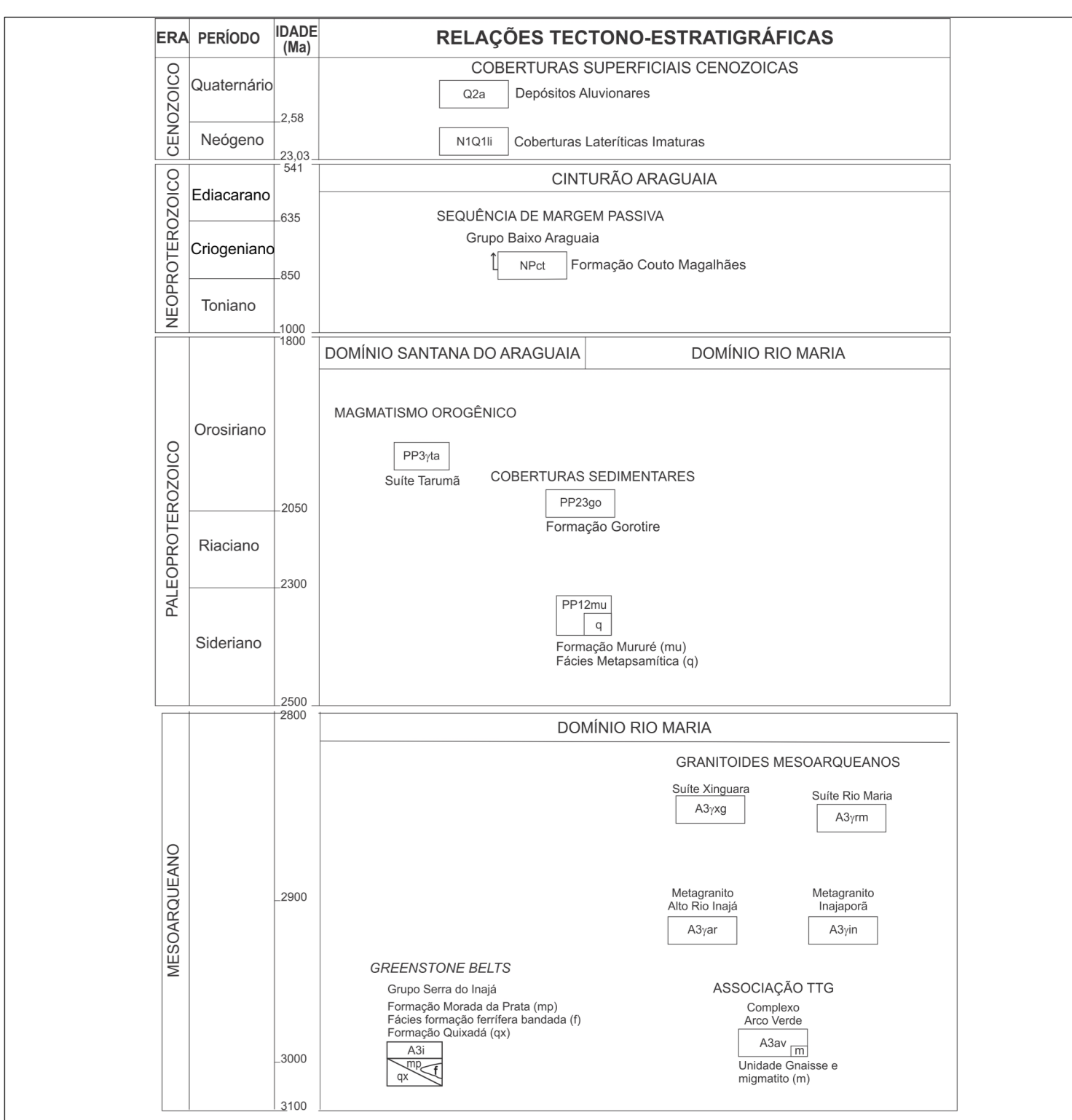
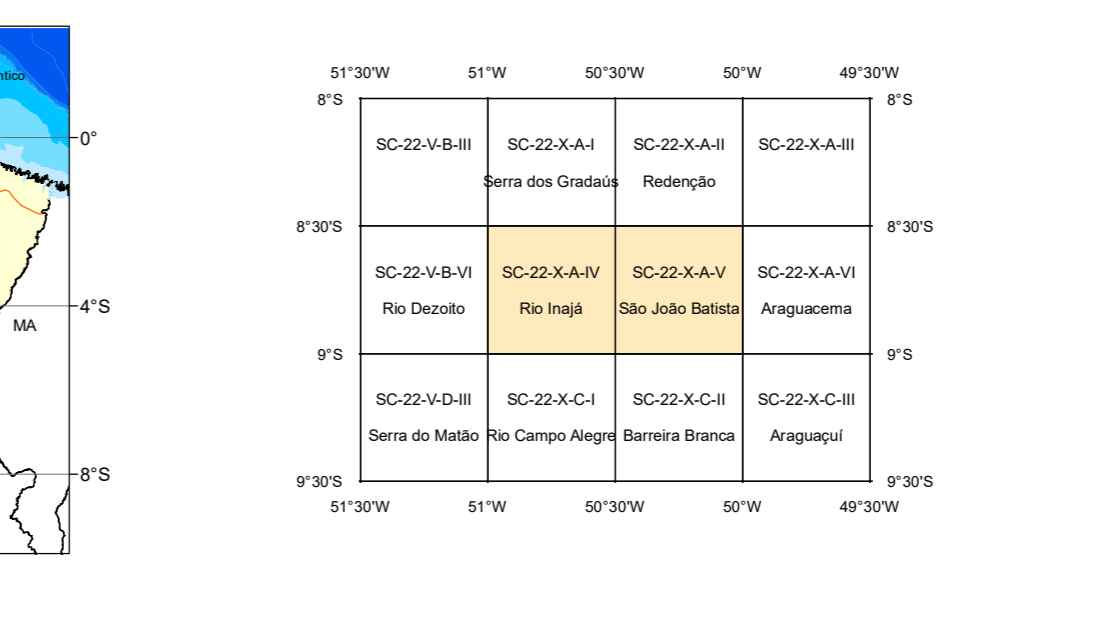
INTEGRAÇÃO DOS DADOS E FAVORABILIDADE



LOCALIZAÇÃO DA ÁREA



ARTICULAÇÃO DAS FOLHAS



MAPA DE FAVORABILIDADE PARA OURO OROGENICO DA PORÇÃO SUL DO DOMÍNIO RIO MARIA

